

**COMMUNICATIONES BREVES**

**ПЛЕНОЧНЫЕ ЭЛЕКТРОЛЮМИНЕСЦЕНТНЫЕ  
КОНДЕНСАТОРЫ НА ОСНОВЕ ZnS—Cu, Mn**

Ф. И. ВЕРГУНАС, Э. М. ЯШИН, В. В. КОЛОТКОВ и Н. Л. ДАНИЛОВА

МОСКВА, СССР

(Поступило 30. V. 1967)

**Конструкция и параметры**

На стеклянную подложку со слоем  $\text{SnO}_2$  сублимируются в вакууме шихта  $\text{ZnS} + \text{CuCl}_2$  и металлический Mn или шихта  $\text{ZnS} + \text{CuCl}_2 + \text{MnCl}_2$ . После прокалки сублимата на его поверхность испаряется слой  $\text{SiO}$  (100—500 Å), затем электрод. Максимум излучения конденсатора приходится на 580—590 нм. Яркость его электролюминесценции (ЭЛ) может быть очень высокой. 10000 нит давали пленки толщиной 0,4 мк при напряжении 70 в (вблизи пробоя). Рабочие яркости 20 нит можно получать при сравнительно низком напряжении — около 20 в в пленке толщиной 0,35 мк. При этом имеется трехкратный запас электрической прочности. Время полужизни, т. е. время спада яркости в 2 раза загерметизированных и подвергнутых 20-часовой обкатке пленок, равно тысяче часов на частоте  $2 \cdot 10^4$  гц. На основе этих пленок можно создавать оптико-электронные устройства.

Изменение интегральной яркости  $B$  от напряжения  $V$  на 6—7 порядков описывается степенной функцией  $B \sim V^\alpha$ , где  $\alpha = 9—18$ . Вблизи пробоя степень  $\alpha$  уменьшается. Зависимость  $B$  от частоты  $f$  до максимума тоже степенная  $B = f^\beta$  где  $\beta = 0,4—1$ . Значения степеней  $\alpha$  и  $\beta$  определяются концентрацией Cu и Mn, характером технологической обработки пленки и не зависят от конструктивных параметров конденсаторов, таких как сопротивление  $\text{SnO}_2$ , толщина  $\text{SiO}$ , толщина  $\text{ZnS}$  [1].

Ток через конденсатор в основном емкостной. На уровне яркости 20 нит при  $f = 5 \cdot 10^3$  гц он на порядок больше активного. Оба следуют закону Ома. При дальнейшем возрастании яркости сопротивление конденсатора начинает падать. На всех частотах наблюдается постоянная составляющая тока  $I_n$ , направление которой всегда соответствует минусу на  $\text{SnO}_2$ . При низком уровне яркости ток  $I_n$  на несколько порядков меньше активного тока, вблизи пробоя они сравнимы. Для тока  $I_n$  и интегральной яркости  $B$  имеет место параллелизм в характере изменения от  $V$  и  $f$ . В частности ток  $I_n \sim V^n$ , где степень  $n$  равна степени  $\alpha$  в зависимости  $B$  от  $V$ . В наших пленках амплитуда отрицательной волны яркости  $B_-$  (по знаку напряжения на  $\text{SnO}_2$ ) превосходит амплитуду положительной  $B_+$ , следовательно фактически параллелизм имеет место между током  $I_n$  и отрицательной волной  $B_-$ .

## Процессы, участвующие в электролюминесценции пленочных конденсаторов

Возбуждение и излучение ЭЛ в пленках осуществляется за один полупериод. В этом мы убедились, накладывая одиночные  $P$ -импульсы на синусоидальное напряжение [2]. Рассмотрим образование отрицательной волны яркости  $B_-$ . В характере изменения  $B_-$  и  $I_n$  имеется параллелизм. Очевидно, они формируются в результате одних процессов. Последние представляются нам в следующем виде. Из  $\text{SnO}_2$ -электрода в  $\text{ZnS}$  инжектируются первичные

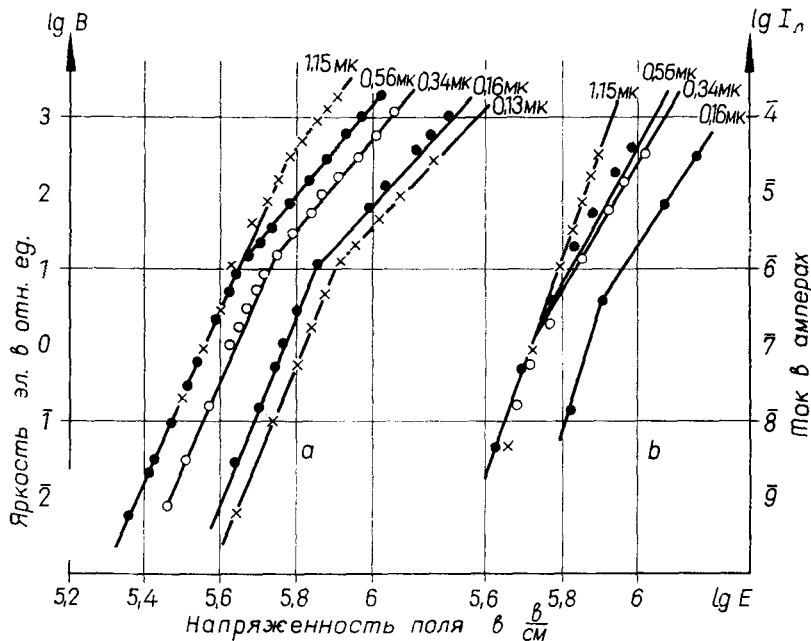


Рис. 1. а — зависимости  $B$  от  $E$  для пленок разных толщин; б — зависимости  $I_n$  от  $E$  для тех же пленок

электроны. При прохождении через пленку часть их ускоряется до энергии, достаточной для ударной ионизации центров активатора или решетки. В результате не только развивается лавина электронов, ответственная за формирование тока  $I_n$ , но и излучается ЭЛ. Последняя сопровождает рекомбинацию электронов с дырками, созданными ударной ионизацией. Независимо от механизма передачи энергии, выделяющейся при рекомбинации, Mn-центраторам, закон затухания ЭЛ должен быть экспоненциальным, так как рекомбинирует неравное число партнёров (электронов много больше, чем дырок) [3]. Если ударная ионизация участвует в формировании  $I_n$  и то они должны расти с напряженностью поля  $E$  при постоянной толщине пленки  $d$  и с толщиной пленки при  $E = \text{const}$ . Причем в характере изменения этих величин должен быть параллелизм. О параллелизме в харак-

тере изменения  $I_n$  и  $B_-$  от  $V$  упоминалось выше. С целью обнаружения зависимости  $I_n$  и  $B$  от  $d$  при  $E = \text{const}$  нами были исследованы 4 серии пленок с разной концентрацией Cu. В пределах каждой серии пленки отличались только толщиной. На рис. 1 приведены результаты для серии с концентрацией Cu = 0. Они принципиально не отличались от результатов для других серий. Из рис. 1 видно, что действительно  $I_n$  и  $B$  растут с  $d$  при  $E = \text{const}$ . Однако этот рост продолжается до определенной критической толщины  $d_{kp}$ , начиная с которой наблюдается независимость  $B$  от  $d$  и  $I_n$  от  $d$  при  $E = \text{const}$ . При напряжениях, близких к пробойным, для  $d \geq d_k$  наблюдается замедление роста  $B$  и  $I_n$  от  $E$ . Этот результат означает, что размножение электронной лавины и возбуждение ЭЛ происходят в определенной критической толщине  $d_k$ . Возможно, роль  $d_k$  играет размер зерна. Пока пленка однослочная и размножение электронной лавины продолжается вплоть до слоя SiO  $I_n$  и  $B$  растут с  $d$ . Когда пленка делается двухслойной и размножение лавины ограничивается само зерно, то начиная с толщины пленки  $d_k$ , равной размеру зерна, размножение лавины замедляется или прекращается.

Электроны лавины, созданной за счет ударной ионизации, локализуются на ловушках вблизи SiO или у границы зерна. И только после термического высвобождения они рекомбинируют с дырками. Объемный заряд, созданный этими электронами, не только участвует в ЭЛ, но и создает поле поляризации. Последнее исключает ЭЛ наших пленок в постоянном поле. Действием поляризации можно объяснить и тот факт, что при синусоидальном возбуждении амплитуда значительно больше, чем при возбуждении половинками синусоид. В первом случае тепло и поле положительного полупериода рассасывают объемный заряд, созданный в отрицательный полупериод, во втором случае это делает только тепло.

В формировании положительной волны  $B_+$  участвуют аналогичные процессы, т. е. первичные электроны, ускоряясь в поле ударным механизмом, создают дырки. Рекомбинация последних с электронами сопровождается ЭЛ. Только поставщиком первичных электронов здесь является не электрод (этому мешает слой SiO), а объемный заряд, локализующийся во время отрицательного полупериода на ловушках около слоя SiO или у границы зерна. Эти представления находятся в соответствии с температурными зависимостями положительной волны яркости, снятыми при разных напряжениях (рис. 2, кривые  $a$ ,  $b$ ,  $c$ ). Из рис. 2 видно, что  $B_+$  с ростом температуры проходит через максимум, причем скорость роста уменьшается с возрастанием напряжения. Очевидно, рост определяется термическим высвобождением электронов с ловушек, эффективная глубина которых уменьшается полем, а падение — истощением заполненных ловушек. Для сравнения на рис. 2 приведены температурные зависимости отрицательной волны  $B_-$ , при образовании которой поставщиком первичных электронов является катод. Из рис. видно, что они отличаются от зависимостей для  $B_+$ . В исследуемом

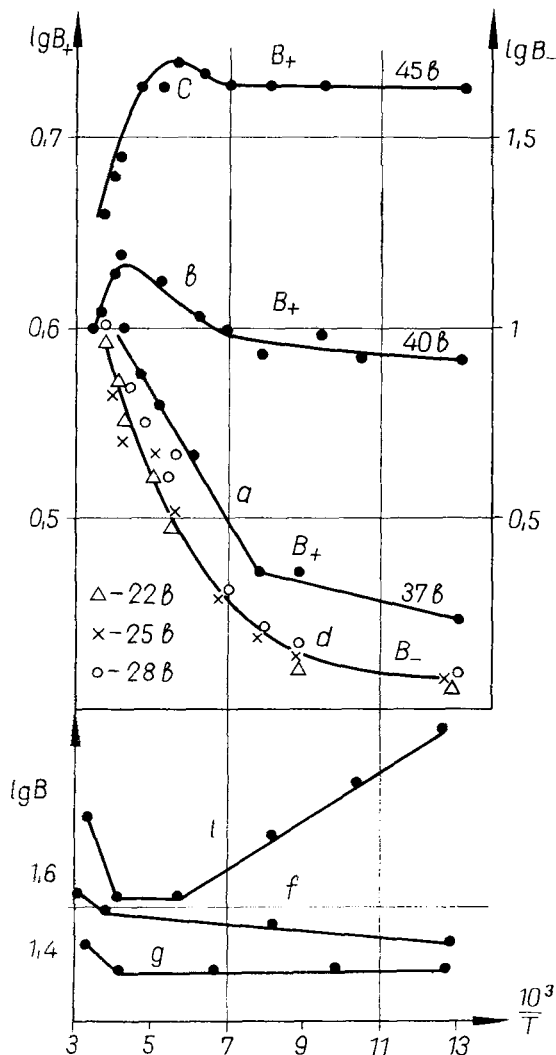


Рис. 2. Температурные зависимости: *a, b, c* — для амплитуды  $B_+$ ; *d* — для амплитуды  $B_-$  при разных напряжениях (начальные амплитуды совмещены); *e, f, g* — для интегральной яркости

интервале температур наблюдается только рост  $B_-$  с  $T$ . Скорость роста не зависит от напряжения. Очевидно, температурный ход интегральной яркости  $B$  должен зависеть от напряжения и соотношения  $B_+$  и  $B_-$  в данной пленке. На рис. 2 приведены зависимости  $B$  от  $T$ , полученные для разных образцов. Видно, что  $B$  может проходить через минимум (кривая *e*), возрастать с  $T$  (кривая *f*), не меняться с  $T$  (кривая *g*).

С точки зрения развиваемой модели можно объяснить поведение пленочных конденсаторов при импульсном возбуждении. Введем обозначения:

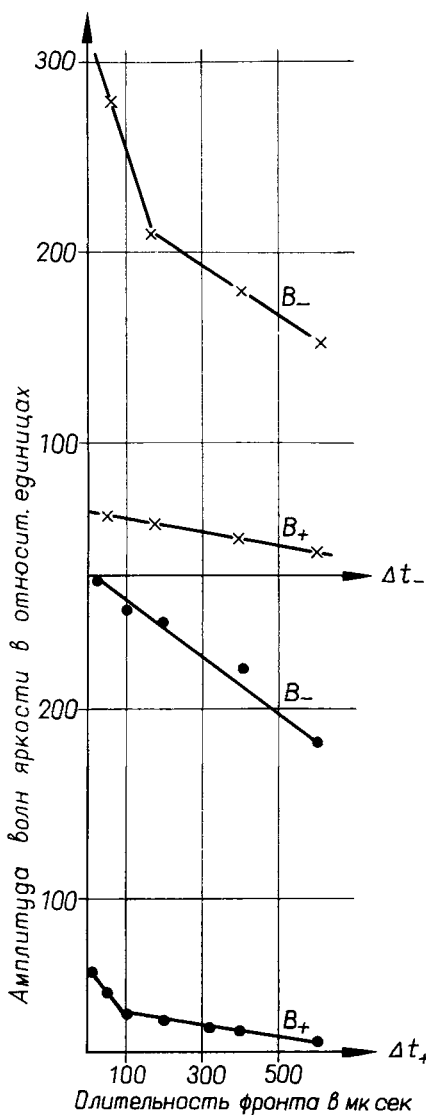


Рис. 3. Зависимости амплитуд  $B_+$  и  $B_-$  от длительности фронта  $\Delta t$

$C_+$  и  $C_-$  — длительности положительного и отрицательного  $P$ -импульсов,  $\Delta t_+$  и  $\Delta t_-$  — длительности их фронтов,  $t_0$  — скважность между ними. Исследования проводились на уровнях яркости около 1 нита. Оказалось, что с возрастанием длительности фронта одного знака от 20 до 600 мксек при неизменной длительности другого обе волны яркости уменьшаются (рис. 3). При возрастании же  $C$  от 0,1 до 500 мсек волна той же полярности, как и возбуждающий импульс, не меняется, волна противоположной поляр-

ности растет, стремясь к постоянному значению (рис. 4). Последний результат означает, что возбуждение своей волны полностью заканчивается за время нарастания фронта  $\Delta t$ , а дальше идут процессы, обеспечивающие яркость волны противоположного знака. Так волна  $B_-$  растет с ростом  $C_+$  вследствие того, что за время  $C_+$  поле и тепло уносят объемный заряд, созданный в предыдущий отрицательный полупериод. С установлением равновесия между этими двумя процессами возрастание  $B_-$  с ростом  $C_+$  прекращается. Волна

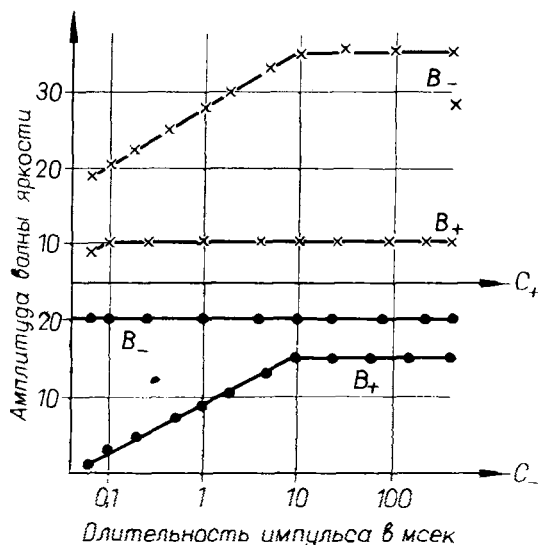


Рис. 4. Зависимости амплитуд  $B_+$  и  $B_-$  от длительности импульса  $C$

$B_+$  растет с длительностью  $C_-$  по другой причине, а именно, за время  $C$  — увеличивается объемный заряд, накапливаемый у анода. Выше указывалось, что он является резервуаром первичных электронов при развитии  $B_+$ . Поэтому  $B_+$  растет с  $C_-$ . Ее рост прекращается с установлением равновесия между процессами накопления объемного заряда и его диффузионного рассасывания. Аналогично объясняется влияние скважности между отрицательным и последующим положительным импульсами на амплитуду  $B_+$ . За время  $t_0$  происходит диффузионное рассасывание объемного заряда, накопленного в предыдущий полупериод. Поэтому с ростом  $t_0$ ,  $B_+$  уменьшается и тем быстрее, чем выше температура. Рассмотренный механизм нельзя переносить на все конденсаторы [4]. Совершенно ясно, что ЭЛ, наблюдаемая в постоянном поле, имеет другой механизм.

## ЛИТЕРАТУРА

1. Ф. И. Вергунас, Э. М. Яшин, В. В. Колотков и Н. А. Данилова, Изв. АН СССР, сер. физ., **30**, 612, 1966.
2. Ф. И. Вергунас, В. В. Колотков, Э. М. Яшин и Н. Л. Данилова, Изв. АН СССР, сер. физ., **30**, 618, 1966.
3. С. И. Вавилов, Sov. Phys. **5**, 369, 1934.
4. W. A. Thornton, J. Appl. Phys., **33**, 3045, 1862; Н. А. Власенко и Ю. А. Попков, О. и С., **8**, 81, 1960; Ф. Ф. Коджеспиров и С. А. Костылев, О. и С., **15**, в. 2, 1963; Э. Д. Головкина, В. В. Пасынков и Г. А. Ханина, О. и С., **19**, 281, 1965.